

# AEG Thyatron

ASG 5007

S 15/5 d

## Triode mit Quecksilberdampffüllung

Mercury-vapour triode

Triode avec remplissage à vapeur de mercure

Triode con relleno de vapor de mercurio

## Glasausführung

Glass type

Exécution verre

Tipo de vidrio

## Kathode

Cathode

Cathode

Cátodo

direkt geheizt

directly heated

à chauffage direct

caldeado directamente

## Montageanordnung: senkrecht mit dem Sockel nach unten

Mounting Position: Vertical, base down

Disposition de montage: verticale avec socle dirigé vers le bas

Para montaje: vertical con portaválvula hacia abajo

## Gewicht

Approx. net weight

Poids

Peso

0,7 kg

1,55 lbs

a = Anode

Anode

Anode

Anodo

g = Steuergitter

Control grid

Grille de réglage

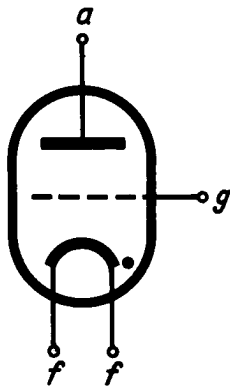
Rejilla de mando

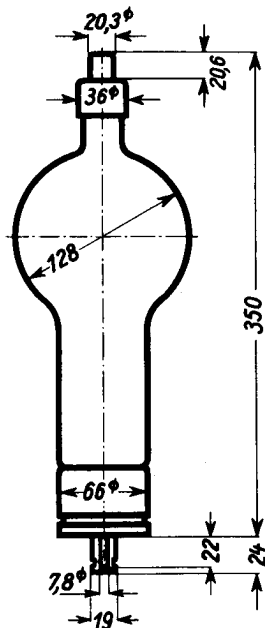
f = Heizung

Filament

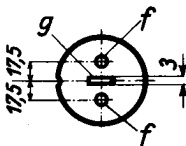
Filament

Filamento





Sockelansicht von unten  
 Bottom view of socket  
 Socle vu du bas  
 Portaválvula vista desde abajo



Abmessungen }  
 Dimensions } mm  
 Dimensiones }

# AEG Thyatron

ASG5007

S 15/5 d

## Technische Werte Technical data Caractéristiques techniques Datos técnicos

<b>Heizspannung</b> Filament voltage Tension de chauffage Tensión de caldeo	}	$U_f$ 5 V
<b>Heizstrom</b> Filament current Courant de chauffage Corriente de caldeo		ca. abt. env. aprox. } $J_f$ 19 A
<b>Toleranz der Heizspannung</b> Max. permissible filament voltage fluctuations Fluctuation admissible de la tension de chauffage Tolerancia de la tensión de caldeo	}	max. $\pm 5\%$
<b>Anheizzeit</b> Cathode-heating time Durée de chauffage Tiempo de precaldeo		} $t_f$ min. 300 sec.
<b>Anodenspannung (Scheitelwert)</b> Anode voltage (crest value) Tension anodique (valeur de crête) Tensión anódica (valor cresta)	}	$U_a$ max. 15 kV
<b>Sperrspannung (Scheitelwert)</b> Inverse voltage (crest value) Tension d'arrêt (valeur de crête) Tensión de bloqueo (valor cresta)		} $U_{inv.}$ max. 15 kV
<b>Anodenstrom (Scheitelwert)</b> Anode current (crest value) Courant anodique (valeur de crête) Corriente anódica (valor cresta)	}	$J_{max.}$ 10 A
<b>Anodenstrom (Mittelwert)</b> Anode current (average) Courant anodique (valeur moyenne) Corriente anódica (valor medio)		} $J_a$ max. 2,5 A
<b>Steuergitterspannung bei gesperrter Röhre (Scheitelwert)</b> Negative control grid bias of non-conducting tube (crest value) Tension de grille régulatrice pour tube non allumé (valeur de crête) Tensión de rejilla de mando con válvua no encendida (valor cresta)	}	$U_g$ max. - 600 V

**Steuergitterstrom (Scheitelwert)**  
Control grid current (crest value)  
Courant de grille (valeur de crête)  
Corriente de rejilla (valor cresta)

}  $\hat{i}_g$  max. 0,2 A

**Steuergitterstrom (Mittelwert)**  
Control grid current (average)  
Courant de grille (valeur moyenne)  
Corriente de rejilla (valor medio)

}  $I_g$  max. 0,04 A

**Gitterwiderstand**  
Max. grid resistance  
Résistance de grille  
Resistencia de rejilla

}  $R_g$  max. 100 k  $\Omega$

**Spannungsabfall an der gezündeten Röhre**  
Arc drop  
Chute de tension  
Caída de tensión

}  $U_B$  15 V

**Integrationszeit**  
Integration time  
Temps d'intégration  
Tiempo de integración

}  $\tau$  max. 15 sec.

**Jonisationszeit**  
Ionisation time  
Temps d'ionisation  
Tiempo de ionización

}  $t_i$  10  $\mu$  sec.

**Freiwerdzeit**  
Recovery time  
Temps de recouvrement  
Tiempo de recobro

bei  
at  
à  
en }  $U_g = - 10$  V  
 $U_g = - 100$  V

$t_r$  300  $\mu$  sec.  
 $t_r$  100  $\mu$  sec.

**Gitteranoden-Kapazität**  
Grid-anode capacity  
Capacité d'anode de grille  
Capacidad del ánodo de rejilla

}  $C_{ag}$  9,5 pF  
( $\mu\mu$ F)

**Eingangs-Kapazität**  
Grid-filament capacity  
Capacité a'entrée  
Capacidad rejilla filamento

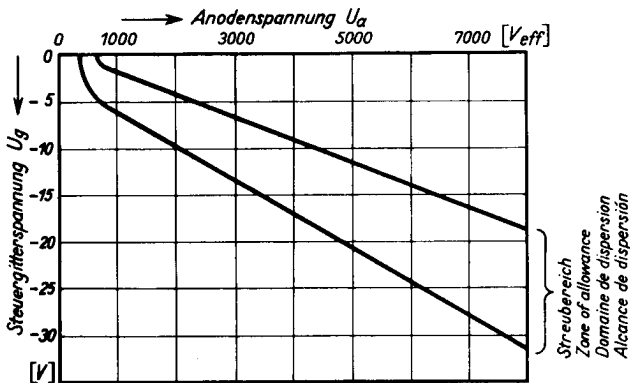
}  $C_g$  19 pF  
( $\mu\mu$ F)

**Ausgangs-Kapazität**  
Anode-filament capacity  
Capacité de sortie  
Capacidad ánodo-filamento

}  $C_a$  60 pF  
( $\mu\mu$ F)

**Umgebungstemperatur**  
Ambient temperature  
Température ambiante  
Temperatura de ambiente

} min. +15° C  
max. +35° C



Zündkennlinienbereich bei einer großen Zahl von Röhren gemessen. Zündkennlinie stellt Steuergitterspannung  $U_g$  in Abhängigkeit von der Anodenwechselspannung  $U_a$  (Effektivwert) am Zündpunkt dar.

Band of ignition characteristics as determined from measurements of a multitude of tubes.

Breakdown characteristic presents grid potential  $U_g$  as function of anode voltage (effective)  $U_a$  at firing point.

Domaine des caractéristiques d'allumage d'eterminé sur un grand nombre de tubes. La caractéristique d'allumage représente la tension de grille  $U_g$  en fonction de la tension alternative anodique (valeur effective) au point d'allumage.

Alcance de las características de ignición determinado en gran número de válvulas medidas.

La característica de ignición representa la tensión de rejilla de mando  $U_g$  en dependencia de la tensión alterna anódica  $U_a$  (valor eficaz) en el punto de ignición.